

## دراسة مقارنة بين عائلات المُعمّيات الكتليّة

جعفر سلطان<sup>1</sup>، د. محمد إياد الخياط<sup>2</sup>

<sup>1</sup>طالب دراسات عليا في قسم النظم والشبكات الحاسوبية - كلية الهندسة المعلوماتية - جامعة دمشق.  
<sup>2</sup>مُدَرِّس في قسم النظم والشبكات الحاسوبية - كلية الهندسة المعلوماتية - جامعة دمشق.

### المُلخَص

تُعَدّ التعمية الآلية الأمنية المُستخدمة لتوفير خدمة سرّية البيانات، تُعَدّ المُعمّيات التناظرية النوع الأكثر استخداماً كونها أسهل في التجيز وتستهلك موارد أقل مقارنةً بالمعمّيات اللاتناظرية، وهي آمنة طالما أنّ المفتاح يبقى سرّياً. تُعَدّ المُعمّيات الكتليّة التكرارية النوع الأكثر شيوعاً من المُعمّيات التناظرية بسبب فعاليتها في التجيزات البرمجية والتجيزات العنادية المُخصّصة. تختلف المُعمّيات الكتليّة التكرارية من حيث هيكلية الجولات التي تُجرىها، وتُعَدّ هيكلية الجولة مجالاً بحثياً مفتوحاً وتُطوّر باستمرار. بناءً على هيكلية الجولة؛ يُمكن تمييز عائلاتٍ مختلفة تُوفّر ميزاتٍ فريدةً من حيث الأداء والأمان وسهولة التجيز. تُظهر الدراسة المرجعية أنه تُوجد عديدٌ من الأوراق البحثية التي تُناقش أداء وأمان المُعمّيات وتُجري المُقارنة فيما بينها على منصاتٍ مناسبةٍ لبيئاتٍ معينة. على الرغم من ذلك؛ لا تُوجد دراساتٌ سابقة تُقارن بين هيكليات العائلات المختلفة وميزاتها الفريدة. تهدف هذه الورقة البحثية إلى شرح هيكليات عائلات المُعمّيات الكتليّة التكرارية، والتعريف بميزاتها الفريدة، وإجراء المُقارنة فيما بينها، وتقديم الاستنتاجات بناءً على تلك الميزات، وبالتالي فهي تُزوّد القارئ بالقدرة على فهم الميزات المُشتركة للمعمّيات الكتليّة التي تنتمي إلى نفس العائلة، وهي تُمثّل نقطة انطلاقٍ جيّدة تُسهّل على الباحث في مجال تطوير خوارزميات التشفير اختيار الهيكلية المناسبة لبناء المُعمّي الكتلي المطلوب.

**الكلمات المفتاحية:** المُعمّي الكتلي، عائلة شبكة فيستيل (FN)، عائلة شبكة الاستبدال والتقليب (SPN)، عائلة مُخطّط Lai-Massey (LM)، عائلة عمليّات الجمع/التدوير/XOR (ARX)، المُعمّيات الهجينة.

تاريخ الإيداع: 2022/6/29

تاريخ القبول: 2022/10/31



حقوق النشر: جامعة دمشق - سورية،

يحفظ المؤلفون بحقوق النشر بموجب

الترخيص CC BY-NC-SA 04

# A Comparative Study between Block Cipher Families

Jafar Sultan<sup>1</sup>, Dr. Mhd. Iyad Alkhatat<sup>2</sup>

<sup>1</sup>Master student in the Department of Computer Systems and Networking - Faculty of Information Technology Engineering - Damascus University.

<sup>2</sup>Lecturer in the Department of Computer Systems and Networking - Faculty of Information Technology Engineering - Damascus University.

## Abstract

Cryptography is the security mechanism used to provide data confidentiality service. Symmetric ciphers are the most widely used type because they are easier to implement and consume less resources compared to asymmetric ciphers, and they are considered secure as long as the key is kept secret. Iterating block ciphers are the most popular type of symmetric ciphers because of their effectiveness in software implementations and dedicated hardware implementations. Iterating block ciphers differ in terms of the structure of the rounds they perform, and the round structure is an open and constantly evolving field of research. Depending on the structure of the round, different families can be distinguished that provide unique features in terms of performance, security and ease of implementation. The reference study shows that there are many research papers that discuss and compare the performance and security of ciphers on platforms that are suitable for particular environments. However, there are no previous studies that compare the structures of different families and their unique features. This paper aims to explain the structures of families of iterating block ciphers, identify their unique features, compare them, and provide conclusions based on those features. Thus, it provides the reader with the ability to understand the common features of the block ciphers belonging to the same family, and it is a good starting point that makes it easier for the researcher in the field of developing encryption algorithms to choose the appropriate structure to build the required block cipher.

**Keywords:** Block cipher, Feistel Network family (FN), Substitution-Permutation Network family (SPN), Lai–Massey scheme family (LM), Addition/Rotation/XOR family (ARX), Hybrid ciphers.

Received: 29/6/2022

Accepted: 31/10/2022



**Copyright:** Damascus University- Syria, The authors retain the copyright under a CC BY- NC-SA

## 1- المقدمة

يُعرّف التشفير (encryption) بأنه تحويل البيانات إلى شكلٍ مختلفٍ يُخفي المعنى الأصلي للبيانات ويمنع استخدام النموذج الأصلي. التحويل العكسي المُقابل هو فكّ التشفير (decryption) الذي يُعيد البيانات المُشفرة إلى شكلها الأصلي (Shirey, 2007, 119).

يُعدّ التشفير الآلية الأمنية المُستخدمة لتوفير خدمة سرّية البيانات (confidentiality) التي تتطوي على حماية البيانات من الهجمات السلبية<sup>1</sup> التي تشمل كشف محتوى الرسائل وتحليل حركة مرور البيانات (Stallings, 2017, 27).

يتكوّن نظام التعمية (cryptosystem) من فضاء النصوص الصريحة (plaintexts)، فضاء النصوص المُشفرة (ciphertexts)، فضاء مفاتيح التشفير (keys)، خوارزمية التشفير التي يُشار لها أيضاً بالمُشفّر (encryptor)، خوارزمية فكّ التشفير التي يُشار لها أيضاً بفكّ التشفير (decryptor).

يُشار إلى الخوارزمية المُستخدمة في التشفير وفكّ التشفير بالمُعَمّي (cipher) (Shirey, 2007, 61).

بناءً على عدد المفاتيح المُستخدمة؛ يُمكن تمييز نوعين من المُعمّيات (Stallings, 2017, 89):

- المُعمّيات التناظرية (Symmetric ciphers): تقوم بتشفير البيانات وفكّ تشفيرها باستخدام نفس المفتاح ويُسمّى المفتاح السريّ (secret key) كونه يجب أن يبقى سرّياً بين المرسل والمستقبل.
- المُعمّيات اللاتناظرية (Asymmetric ciphers): تستخدم زوجاً من المفاتيح،

يُستخدم أحدهما في عملية التشفير لدى المرسل ويُسمّى المفتاح العام (public key)؛ ويُستخدم الآخر في عملية فكّ التشفير لدى المُستقبل ويُسمّى المفتاح الخاصّ (private key).

يعتمد الأمان في أنظمة التعمية التناظرية بشكلٍ جوهريّ على توزيع المفتاح بشكلٍ آمنٍ على كلّ من المرسل والمستقبل، تحلّ أنظمة التعمية اللاتناظرية مشكلة توزيع المفاتيح (Schneier, 1996, 59)، حيث يبقى المفتاح الخاصّ سرّياً لدى مالكه ويقوم بمشاركة المفتاح العامّ مع العموم ضمن شهادة رقمية تحمل هويته ليُمكن جميع الأطراف التي ترغب بإرسال البيانات المُشفرة له من استخدامه.

يتطلّب استخدام أنظمة التعمية اللاتناظرية تحقّقاً صارماً من الشهادات الرقمية لدعم الثقة بين الطرفين، كما أنّ المُعمّيات اللاتناظرية تُعدّ أكثر تعقيداً في التتجيز وتستهلك موارد أكبر مقارنةً بالمُعّيات التناظرية. تُعدّ المُعمّيات التناظرية النوع الأكثر استخداماً كونها أسهل في التتجيز وتستهلك موارد أقلّ وهي آمنة طالما أنّ المفتاح يبقى سرّياً.

في التطبيقات العملية؛ يُستخدم التشفير اللاتناظري لتأمين وتوزيع مفاتيح الجلسة (session keys) التي تُستخدم من قبل المُعمّيات التناظرية لتأمين حركة الرسائل، وهذا ما يُسمّى أحياناً نظام التعمية الهجين (hybrid cryptosystem) (Schneier, 1996, 61).

بناءً على طريقة معالجة النصّ الصريح؛ تُصنّف المُعمّيات التناظرية إلى نوعين أساسيين (Stallings, 2017, 120):

- المُعمّيات الدفقية (Stream ciphers): تقوم بتحويل دفقٍ من النصّ الصريح إلى دفقٍ من النصّ المُشفر باستخدام دفقٍ موازٍ من مفتاح التشفير، يجب

<sup>1</sup> تُصنّف الهجمات من حيث القصد إلى صنفين، الصنف الأول هو الهجمات السلبية (passive attacks) التي تُحاول التعرّف على المعلومات أو الاستفادة منها من أحد الأنظمة ولكنها لا تُؤثّر على الموارد الخاصة بهذا النظام، الصنف الثاني هو الهجمات النشطة (active attacks) التي تُحاول تغيير موارد النظام أو التأثير على عملياته (Shirey, 2007, 23).

توفير دفق المفتاح لكلا المُستخدمين مُسبقاً عبر قناة مُستقلّة وأمنة، من الناحية العمليّة؛ يتمّ تنجز مُؤدّد تدفّق بتات المفتاح كإجراءٍ حسابيٍّ؛ بحيث يحتاج المُرسِل والمستقبل فقط إلى مُشاركة مفتاح التوليد.

• المُعمّيات الكتليّة (Block ciphers): تقوم بمعالجة كتلةٍ من النصّ الصريح ككلّ وليس كعناصر مُفردةٍ واستخدامها لإنتاج كتلةٍ من النصّ المُشفّر مُساويةٍ لها بالطول، حيث يتمّ تقسيم النصّ الصريح إلى كتلٍ متساوية الطول، ويقوم المُعمّي بمعالجة هذه الكتل باستخدام نفس المفتاح للحصول على الكتل المُقابلّة من النصّ المُشفّر.

تتميّز المُعمّيات الكتليّة بقابليّة التطبيق على نطاقٍ أوسع من التطبيقات قياساً بالمُعمّيات الدقيقيّة (Stallings, 2017, 121)، وتُعدّ مُفضّلةً بسبب إمكانيّة استخدامها لتحقيق نفس وظيفة المُعمّيات الدقيقيّة في بعض أنماط عملها.

يُمكن تصميم المُعمّيات الكتليّة الحديثة بطرقٍ مختلفة، يُعدّ المُعمّي الكتليّ التكراريّ (iterative block cipher) التصميم الأكثر استخداماً.

يُعرّف المُعمّي الكتليّ التكراريّ بأنه تطبيق عددٍ من التقليلات المنطقيّة المُعتمِدة على المفتاح بشكلٍ مُتكرّرٍ عبر عدّة جولات (rounds)؛ يُشار إلى تلك التقليلات المنطقيّة بتحويل الجولة (round transformation)، يُعبّر عن المُعمّي الكتليّ التكراريّ  $\beta(k)$  كما يلي

$$\beta(k) = \rho^r(k^r) \rho^{r-1}(k^{r-1}) \dots \rho^1(k^1) \quad \text{: (Daemen et al., 2002, 24)}$$

يُعبّر المُتحوّل  $r$  عن عدد الجولات التي يُجريها المُعمّي الكتليّ التكراريّ، ويُعبّر المُتحوّل  $\rho^i$  عن تحويل الجولة رقم  $i$ ، ويُعبّر المُتحوّل  $k^i$  عن مفتاح الجولة رقم  $i$ . يتمّ اشتقاق مفاتيح الجولات من مفتاح التشفير عن طريق خوارزمية اشتقاق المفاتيح التي تُؤدّد جدول المفاتيح

(key schedule) الذي يُشار له أيضاً بالمفتاح المُوسّع (expanded key)  $K$  حيث أن:

$$K = k^1 | k^2 | \dots | k^r$$

يُعدّ المُعمّي الكتليّ التكراريّ ذو المفتاح (key-iterating block cipher) التصميم الأكثر شيوعاً، ويُعرّف بأنه التطبيق المُتتالي لتحويل الجولة المُستقلّ عن المفتاح متبوعاً بإضافة مفتاح الجولة بواسطة عمليّة XOR بسيطة، حيث أنه يُجري نفس تحويل الجولة في جميع الجولات عدا الجولة الابتدائيّة والأخيرة، ويُعبّر عنه كما يلي (Daemen et al., 2002, 26):

$$\beta(k) = \sigma(k^r) \rho \sigma(k^{r-1}) \rho \dots \sigma(k^1) \rho \sigma(k^0)$$

يُعبّر المُتحوّل  $r$  عن عدد الجولات التي يُجريها المُعمّي الكتليّ التكراريّ، ويُعبّر المُتحوّل  $\rho$  عن تحويل الجولة، ويُعبّر التعبير  $\sigma(k^i)$  عن تحويل إضافة مفتاح الجولة رقم  $i$ ، يتمّ اشتقاق مفاتيح الجولات من مفتاح التشفير عن طريق خوارزمية اشتقاق المفاتيح التي تُؤدّد

$$K = k^0 | k^1 | k^2 | \dots | k^r \quad \text{حيث أن: } K$$

جدول المفاتيح  $K$  حيث أن:  $K = k^0 | k^1 | k^2 | \dots | k^r$  تجري إضافة مفتاحٍ أوليّة قبل الجولة الأولى، الدافع وراء ذلك هو أنه في سياق هجمات النصّ الصريح المعروف (known-plaintext attacks) يُمكن ببساطة إزالة أيّة عمليّات تسبق إضافة المفتاح الأوليّة أو تلي إضافة المفتاح النهائيّة دون معرفة المفتاح، وبالتالي فهي لا تُساهم في أمان التشفير، ولذا فإنّ عديداً من التصميمات تقوم بتطبيق إضافة المفتاح الأوليّة أو النهائيّة (Daemen et al., 1999, 8).

تُعدّ المُعمّيات الكتليّة التكراريّة ذات المفتاح النوع الأكثر استخداماً من المُعمّيات الكتليّة وهي تصلح للتجزّيات الفعّالة.

ففي التجزّيات العاديّة المُخصّصة؛ يُمكن تنجز تحويل الجولة وإضافة المفتاح باستخدام التوصيلات

(state)، بناءً على هيكلية الجولة يُمكن تمييز العائلات التالية:

- عائلة شبكة فيستيل (FN) Feistel Network.
- عائلة شبكة الاستبدال والتقليب (SPN) Substitution-Permutation Network.
- عائلة مُخطّط Lai-Massey (LM) Lai-Massey scheme.
- عائلة عمليّات الجمع/ التدوير/ XOR (ARX) Addition/ Rotation/ XOR.

تُعدّ هيكلية الجولة مجالاً بحثياً مفتوحاً ومُتطوراً باستمرار، تُظهر الدراسة المرجعية أنّه تُوجد عديدٌ من الأوراق البحثية التي تُناقش أداء وأمان المُعمّيات وتُجري المُقارنة فيما بينها على منصاتٍ مناسبةٍ لبيئاتٍ معيّنة. على الرغم من ذلك؛ لا تُوجد دراساتٌ سابقة تُقارن بين هيكليات العائلات المختلفة وميزاتها الفريدة.

تهدف الورقة البحثية إلى شرح هيكليات عائلات المُعمّيات الكتليّة، والتعريف بميزاتها الفريدة، وإجراء المُقارنة فيما بينها، وتقديم الاستنتاجات بناءً على تلك الميزات، وبالتالي فهي تُزوّد القارئ بالقدرة على فهم الميزات المُشتركة للمُعمّيات الكتليّة التي تنتمي إلى نفس العائلة، وهي تُمثّل نقطة انطلاقٍ جيّدة تُسهّل على الباحث في مجال تطوير خوارزميات التشفير اختيار الهيكلية المناسبة لبناء المُعمّي الكتلي المطلوب.

تمّ تنظيم باقي هذه الورقة على النحو التالي: يستعرض القسم الثاني أبرز الدراسات السابقة التي تُناقش أداء وأمان المُعمّيات وتُجري المُقارنة فيما بينها، يُعرّف القسم الثالث بعائلة شبكة فيستيل وأصنافها الأساسية، يُعرّف القسم الرابع بعائلة شبكة الاستبدال والتقليب، يُعرّف القسم الخامس بعائلة مُخطّط Lai-Massey، يُعرّف القسم السادس بعائلة ARX، يُلقى القسم السابع الضوء على

الفيزيائية، وبالتالي يُمكن إجراء تشفير الكتلة ببساطة عن طريق تكرار تحويل الجولة بالتناوب مع مفاتيح الجولة المناسبة، وفي التجيزات البرمجية؛ هناك حاجةً إلى كتابة كود تحويل جولةٍ واحدٍ واستخدامه ضمن حلقة، وبالتالي يُمكن إجراء تشفير الكتلة ببساطة عن طريق تنفيذ هذه الحلقة بالعدد المطلوب من التكرارات (Daemen *et al.*, 2002, 26).

بهدف إحباط تحليل الشيفرة (cryptanalysis) المبني على التحليل الإحصائي؛ اقترح كلود شانون Claude Shannon وظيفتين أصبحتا حجر الزاوية في تصميم المُعمّيات الكتليّة؛ هما وظيفة الخلط (confusion) ووظيفة النشر (diffusion) (Stallings, 2017, 124).

تسعى وظيفة الخلط لجعل العلاقة بين إحصائيات النصّ المُشفّر وقيمة مفتاح التشفير مُعقّدة قدر الإمكان بهدف إحباط مُحاولات استنتاج المفتاح (Stallings, 2017, 125). يتحقّق ذلك بجعل رموز النصّ الصريح تُؤثّر على رموز النصّ المُشفّر بطريقةٍ مُعقّدة.

تسعى وظيفة النشر لجعل العلاقة الإحصائية بين النصّ الصريح والنصّ المُشفّر مُعقّدة قدر الإمكان بهدف إحباط مُحاولات استنتاج المفتاح، وهذا يتطلب تبديد البنية الإحصائية للنصّ الصريح إلى إحصاءاتٍ منتشرةٍ على كامل مدى النصّ المُشفّر. يتحقّق ذلك بجعل كلّ رمزٍ من النصّ الصريح يُؤثّر على العديد من رموز النصّ المُشفّر؛ وهذا يُكافئ أن يتأثّر كلّ رمزٍ من النصّ المُشفّر بالعديد من رموز النصّ الصريح. (Stallings, 2017, 124).

عادةً ما تُوفّر الجولات في المُعمّيات الكتليّة التكرارية وظيفة الخلط باستخدام عملية الاستبدال (substitution) اللَّاحظية، وتُوفّر وظيفة النشر باستخدام عملية التقليب (permutation) الخطية (Avanzi, 2016, 25).

تختلف المُعمّيات الكتليّة التكرارية من حيث هيكلية الجولات التي تُجريها على كتلة البيانات التي تُسمّى الحالة

المُعمّيات الهجينة، وأخيراً يُجري القسم الثامن مقارنةً بين عائلات المُعمّيات الكتليّة ويُقدّم الاستنتاجات بما يتعلّق بميزاتها الفريدة.

## 2- الدراسات السابقة

تُوجد عديدٌ من الأوراق البحثيّة التي تُناقش أداء وأمان المُعمّيات التي تنتمي إلى عائلاتٍ مختلفةٍ وتُجري المُقارنة فيما بينها على منصاتٍ مناسبةٍ لبيئاتٍ معيّنة.

قام Eisenbarth *et al.* (2012) بتقييم أداء مجموعةٍ متنوّعةٍ من المُعمّيات الكتليّة التقليديّة وخفيفة الوزن التي يُمكن استخدامها في الأجهزة محدودة الموارد، تمّ إجراء المُقارنة فيما بينها من حيث الطاقة (energy) واستهلاك الذاكرة وعدد دورات المُعالجة، ولم تشمل المُقارنة مُعمّيات من عائلة LM.

قام Batina *et al.* (2013) بتقييم مجموعةٍ من المُعمّيات الكتليّة خفيفة الوزن ومُقارنتها بالمُعّمي AES من حيث منطقة الرقاقة (chip area) مُعبّراً عنها بعدد البوابات المُكافئة (Gate Equivalent) واستهلاك الطاقة والقدرة (power) وعدد دورات المُعالجة دون أن تشمل المُقارنة مُعمّياتٍ من عائلة ARX و LM.

قام Cazorla *et al.* (2013) بتقييم أداء التنجيزات البرمجيّة لمجموعةٍ من المُعمّيات الكتليّة التقليديّة وخفيفة الوزن التي يُمكن استخدامها في بيئة شبكات الحساسات اللاسلكيّة وتنتمي إلى عائلات FN و SPN و LM، وجرّت مُقارنتها من حيث استهلاك الذاكرة وعدد دورات المُعالجة.

أجرى Kushwaha *et al.* (2014) مُقارنةً بين عددٍ من المُعمّيات التي يُمكن استخدامها في العقد مُقيّدة الموارد وتنتمي إلى عائلتي FN و SPN، وجرّت مُقارنتها من حيث منطقة الرقاقة (GEs) وعدد دورات المُعالجة.

قدّم Beaulieu *et al.* (2015) المُعمّي SIMON ذا الهيكلية FN المُناسب للتنجيزات العناديّة والمُعّمي

قدّم Albermany *et al.* (2016) نظرةً عامّةً مُوجزةً حول مجموعةٍ من المُعمّيات الكتليّة مع تصنيفها ضمن ثلاث فئاتٍ أساسيّةٍ هي FN و SPN و UFN دون إجراء مُقارنةٍ بين ميزات الهيكلية.

أجرى Appel *et al.* (2016) دراسةً استقصائيّةً للمُعمّيات الكتليّة خفيفة الوزن المُناسبة للاستخدام في عقد إنترنت الأشياء (Internet of Things). استفاد الباحثون من المُقارنة التي أجراها Beaulieu *et al.* (2015) وأضافوا معيار الكفاءة لتقييم أداء التنجيزات العناديّة الذي يُراعي المردود ومنطقة الرقاقة (GEs). كما استفاد الباحثون من المُقارنة التي أجراها Eisenbarth *et al.* (2012) وبعض الدراسات الأخرى لتقييم أداء التنجيزات البرمجيّة بما يشمل قياسات عدد دورات المُعالجة وحجم الذاكرة المطلوبة.

قدّم Avanzi (2016) لمحةً شاملّةً عن أكثر من ثمانين مُعمّياً كتلياً معروفاً مع مُقارنة أداء التنجيزات البرمجيّة والعناديّة وشرح ثلاث عائلاتٍ أساسيّةٍ من المُعمّيات وهي SPN و FN و LM.

قيّم Hosseinzadeh *et al.* (2017) أداء التنجيزات البرمجيّة في بيئة شبكة الحساسات اللاسلكيّة لخمسةٍ من المُعمّيات الكتليّة خفيفة الوزن التي تنتمي إلى عائلات ARX و SPN و FN من حيث استهلاك الذاكرة واستهلاك الطاقة.

$LE_i, RE_i$ ، وتُجري الجولة عمليّتين أساسيّتين هما  
(Stallings, 2017, 125):

- عمليّة الاستبدال: تجري على النصف الأيسر من الكتلة  $i-1$ ، يتمّ ذلك عن طريق تطبيق تابع الجولة  $F$  على النصف الأيمن من الكتلة  $RE_{i-1}$  ثمّ إجراء عمليّة XOR ما بين خرج تابع الجولة والنصف الأيسر من الكتلة.

- عمليّة التقلاب: بعد عمليّة الاستبدال السابقة تتمّ المُبادلة (swap) بين نصفيّ الكتلة.

كما هو مُوضَّح في الشكل 1 (أ)؛ يُمكن التعبير عن نتائج الجولة رقم  $i$  في المُشفرّ كما يلي  
(Stallings, 2017, 128):

$$(LE_i, RE_i) = (RE_{i-1}, LE_{i-1} \oplus F(RE_{i-1}, K_i))$$

كما هو مُوضَّح في الشكل 1 (ب)؛ يُمكن التعبير عن نتائج الجولة رقم  $i$  في فكّ التشفير كما يلي  
(Stallings, 2017, 128):

$$(LD_i, RD_i) = (RD_{i-1}, LD_{i-1} \oplus F(RD_{i-1}, K_i))$$

يُوجد تماثلٌ بين هيكلية فكّ التشفير والمُشفرّ وكلاهما يستخدمان نفس تابع الجولة. تجري مُعالجة النصّ المُشفرّ بنفس الطريقة المُنبّعة في المُشفرّ لكن مع استخدام المفاتيح الفرعية بترتيب عكسيّ، تُغني هذه الميزة عن الحاجة إلى خوارزميّتين مختلفتين للتشفير وفكّ التشفير (Stallings, 2017, 127) مما يُخفّض الكلفة الإجماليّة لتتجزى المُعمّي برمجيّاً وعتادياً.

بما أنّه لا حاجة لأن يكون تابع الجولة قابلاً للانعكاس؛ يُمكن تصميم تابع الجولة بشكلٍ مُستقلّ ليكون مُعقّداً بأيّ شكلٍ كان (Avanzi, 2016, 28).

يُطلق على هيكلية شبكة فيستيل أيضاً التسمية LR-Construction تيمناً بالعالمين Michael Luby و Charles Rackoff اللذين قاما بتحليل بنية مُعمّيات شبكة فيستيل، وأثبتنا أنّه إذا كان تابع الجولة وظيفيّة

ركّز الباحثون في *Acosta et al.* (2017) اهتمامهم على التشفير خفيف الوزن الذي يجمع بين الأمان واستهلاك القدرة بشكلٍ أساسيّ، واستنتج الباحثون أنّ مُعمّيات العائلة SPN لديها أفضل أداءٍ من حيث استهلاك الطاقة مُقابل البت، كما ناقش الباحثون المعماريّات المختلفة لتتجزى صناديق الاستبدال في العائلة SPN.

قام *Rana et al.* (2019) بإجراء دراسةٍ استقصائيّةٍ لمجموعة متنوّعةٍ من المُعمّيات الكتليّة التقليديّة وخفيفة الوزن، وتقييمها من حيث استهلاك الذاكرة وعدد دورات المُعالجة.

بناءً على الدراسة المرجعية السابقة يتّضح أنّه لا تُوجد دراساتٌ سابقة تُقارن بين هيكلية عائلات المُعمّيات الكتليّة التكراريّة المختلفة وميزاتها الفريدة، ومن هذه النقطة تسعى هذه الورقة البحثية إلى شرح هيكلية عائلات المُعمّيات الكتليّة التكراريّة، والتعريف بميزاتها الفريدة، وإجراء المُقارنة فيما بينها، وتقديم الاستنتاجات بناءً على تلك الميزات.

### 3- عائلة شبكة فيستيل

سُمّيت عائلة شبكة فيستيل تيمناً بعالم التشفير هورست فيستيل Horst Feistel، يأخذ مُشفرّ شبكة فيستيل كتلة نصّ صريحٍ بطول  $2w$  بت ومفتاح التشفير  $k$  كمُدخلات. يقوم المُشفرّ بتقسيم كتلة النصّ الصريح إلى نصفين كلّ منهما بطول  $w$  بت: نصفٌ أيسر يُشار له بالرمز  $0$  ونصفٌ أيمن يُشار له بالرمز  $RE_0$ ، وتجري مُعالجة نصفيّ الكتلة عبر  $n$  جولة لها نفس البنية، ثمّ يتّجد نصفا الكتلة لإنتاج كتلة النصّ المُشفرّ (Stallings, 2017, 125).

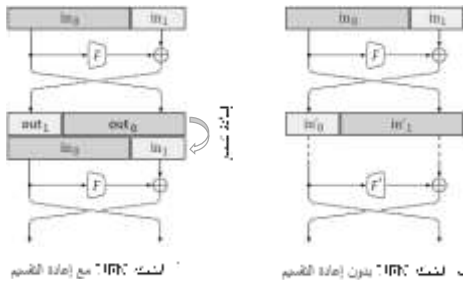
يكون دخل الجولة رقم  $i$  هو نصفا الكتلة  $RE_{i-1}$ ، الناتجان عن الجولة السابقة بالإضافة إلى مفتاح الجولة  $k_i$  المُشتقّ من المفتاح  $K$  باستخدام خوارزمية جدول المفاتيح، وينتج عن الجولة نصفا الكتلة

والمُعّمي GOST، والمُعّمي SIMON، وشبكة المستوى الأول في كلٍّ من المُعمّيين MISTY-1 و DEAL.

### 3-2- شبكة فيستيل غير المُتوازنة

تقوم شبكة فيستيل غير المُتوازنة (UFN) بتقسيم الحالة إلى فرعين مُختلفي الطول، يجب إعادة تقسيم الحالة (repartition) الحالة الناتجة في خرج الجولة بالشكل المُناسب قبل تمريرها إلى الجولة التالية بحال كانت الشبكة تطبّق تابع جولة ثابتاً خلال جميع جولات المعالجة (Avanzi, 2016, 32)؛ كما هو مُوضَّح في الشكل 2 (أ).

تُوجد أشكالٌ من شبكة UFN لا تتطلب عملية إعادة تقسيم الحالة، بدلاً من ذلك فهي تستخدم تابعي جولة مختلفين يُستخدمان بالتناوب عبر الجولات، يُطبّق أحدهما على الفرع الأصغر لتوسيعه ويُطبّق الآخر على الفرع الأكبر لضغطه (Avanzi, 2016, 32)؛ كما هو مُوضَّح في الشكل 2 (ب). مثالها شبكة المُعمّيات LION، المُعمّيين MISTY-1، MISTY-2، وشبكة المستوى الثالث من المُعمّمي KASUMI.

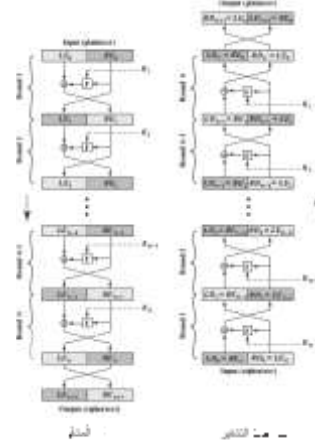


الشكل (2) شبكات فيستيل غير المُتوازنة (UFN)

### 3-3- شبكة فيستيل غير المُتوازنة المُعمّمة

تقوم شبكة فيستيل غير المُتوازنة المُعمّمة (GUFN) بتقسيم الحالة إلى عدّة فروعٍ متساوية الطول؛ يُستخدم منها فرعٌ مصدرٌ (source) (أو أكثر) لتعديل فروعٍ أخرى هدف (target).

تشفيريةً شبه عشوائيةً (pseudo-random) آمنة؛ فإنّه - مع استخدام مفاتيح فرعيةً كبدرة- تكون ثلاث جولات كافيةً لجعل المُعمّمي الكتليّ تقليباً شبه عشوائيّ، في حين تكفي أربع جولاتٍ لجعله تقليباً شبه عشوائيّ قويّاً (Avanzi, 2016, 30).



الشكل (1) هيكلية المُشفر وفكّ التشفير في عائلة FN

تُوجد أنواعٌ مختلفةٌ من التصاميم المُمكنة لمُعّميات شبكة فيستيل، ويُمكن تصنيفها بشكلٍ عامٍّ ضمن ثلاثة أصنافٍ أساسيةً (Schneier et al., 1996, 1):

- شبكة فيستيل المُتوازنة (Balanced FN).
- شبكة فيستيل غير المُتوازنة (Unbalanced FN).
- شبكة فيستيل غير المُتوازنة المُعمّمة (Generalized Unbalanced FN).

### 3-1- شبكة فيستيل المُتوازنة

تُعدّ شبكة فيستيل المُتوازنة (BFN) الهيكلية الأساسية لشبكات فيستيل، تقوم بتقسيم الحالة إلى جزئين (فرعين) لهما نفس الطول وتُعالجها وفق ما تمّ شرحه سابقاً. من أمثلة المُعمّيات التي لها هيكلية BFN: المُعمّمي DES، والمُعّمي FEAL، والمُعّمين Khafre و Khufu، والمُعّمي Blowfish، والمُعّمي ICE، والمُعّمي CAST-128، والمُعّمي LOKI97، والمُعّمي Twofish، والمُعّمي E2، والمُعّمي DFC، والمُعّمي Camellia، والمُعّمي SEED.



تُعدّ شبكة فيستيل مُتجانسةً (homogeneous) إذا كان تابع الجولة مُتطابقاً في جميع الجولات، وهي الحالة الأكثر استخداماً في المُعمّيات الكتليّة التكراريّة، وبخلاف ذلك تُعدّ الشبكة غير مُتجانسةً (heterogeneous) (Schneier et al., 1996, 3).

تُعدّ الشبكات غير المُتجانسة أكثر تعقيداً من حيث التحليل والتجيز، مثالها شبكة المُعمّي Khufu التي يتغيّر فيها صندوق الاستبدال المُستخدَم في تابع الجولة كلّ ثماني جولات. في حين أنّ الشبكات المُتجانسة تتميز بتجيزٍ عتاديّ أقلّ كلفةً وتجيزٍ برمجيّ أصغر حجماً وأسهل (Schneier et al., 1996, 3).

تُعدّ شبكة UFN مُتسقةً (consistent) إذا بقيت أحجام الفروع المصدر والهدف ثابتةً خلال جميع الجولات، وبخلاف ذلك تُعدّ الشبكة غير مُتسقةً (inconsistent)؛ مثالها شبكة المُعمّيات LION, BEAR, LIONESS. تجدر الملاحظة بأنّ شبكة UFN غير المُتسقة هي حتماً غير مُتجانسة، في حين أنّه من المُمكن أن تكون الشبكة غير مُتجانسةً ولكنّها مُتسقةً (Schneier et al., 1996, 4).

من المُمكن أن يتغيّر تصميم شبكة UFN من جولةٍ إلى أخرى أو خلال مجموعةٍ من الجولات؛ كما في المُعمّي MARS المُكوّن من ثلاثة أطوار تختلف جولاتها من حيث الهيكلية وتابع الجولة، والمُعمّي Skipjack المُكوّن من أربع دفعاتٍ من الجولات يتناوب فيها استخدام نوعين من هيكلية الجولة.

تُعدّ شبكة UFN كاملةً (complete) إذا كانت جميع بنّات الحالة تُستخدَم خلال الجولة الواحدة (أي أنّها إمّا جزءٌ من فروعٍ مصدر أو جزءٌ من فروعٍ هدف)، وبخلاف ذلك تُعدّ الشبكة غير كاملةً (incomplete) (Schneier et al., 1996, 4)؛ مثالها شبكة المُعمّيين Khufu, Khafre التي تستخدم ناتج

تُوجد عدّة أنواع من شبكات GUFN أبرزها (Avanzi, 2016, 32):

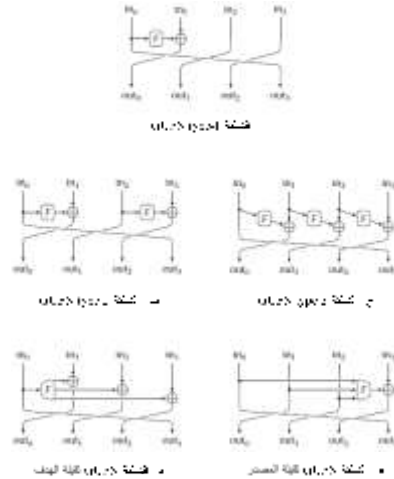
- الشبكة type-1 التي تُنتج في نهاية الجولة فرعاً واحداً مُعدّلاً؛ الشكل 3 (أ)، مثالها شبكة المُعمّي CAST-256.

- الشبكة type-2 التي تُنتج في نهاية الجولة فرعين مُعدّلين؛ الشكل 3 (ب)، مثالها شبكة المُعمّي RC6 وشبكة المُعمّي CLEFIA.

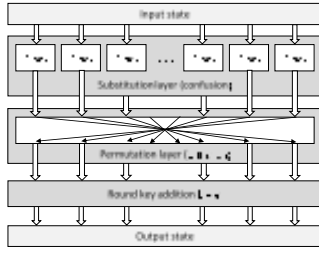
- الشبكة type-3 التي تُنتج في نهاية الجولة ثلاثة فروعٍ مُعدّلة؛ الشكل 3 (ج).

تُوجد حالتان فريدتان من شبكات GUFN هما الشبكة ثقيلة الهدف (target-heavy) والشبكة ثقيلة المصدر (source-heavy) (Avanzi, 2016, 33).

تستخدم الشبكة ثقيلة الهدف فرعاً واحداً لتعديل الفروع الأخرى؛ الشكل 3 (د)، مثالها شبكة جولات الطور الثاني في المُعمّي MARS التي تُعدّ ثقيلة الهدف من النوع type-3. على العكس؛ تقوم الشبكة ثقيلة المصدر بتعديل فرعٍ واحدٍ باستخدام الفروع الأخرى؛ الشكل 3 (هـ)، مثالها شبكة المُعمّي التجريبيّ MacGuffin.



الشكل (3) شبكات فيستيل غير المتوازنة المُعمّمة (GUFN)



الشكل (4) هيكلية الجولة في معمي عائلة SPN

عادةً ما يتمّ تنجيز طبقة الاستبدال كعمليات تجري على جدول بحث (lookup table) يُعَيّن قِيم أجزاء من الحالة مع قِيم أخرى مُقابلَة (mapping)، كما يُمكن أن يكون التنجيز الفعليّ بطرق أخرى مثل استخدام دارة بسيطة أو برنامج قصير يُجري عملياتٍ لاختيائية (Avanzi, 2016, 25).

يُشار إلى الوظيفة البسيطة للاختيائية التي تُعدّل جزءاً فقط من الحالة بصندوق الاستبدال S-box، وتتكوّن طبقة الاستبدال الكاملة من تطبيقاتٍ مُتعدّدة ومتوازية لصناديق الاستبدال (التي قد لا تختلف بالضرورة عن بعضها البعض) على أجزاء من الحالة (Avanzi, 2016, 26).

يُمكن تمثيل طبقة التقلب كتبديل مواقع ثابتٍ وبسيطٍ لبِتّات الحالة أو كتحويلٍ خطّيٍّ عكوسٍ يُعالج الحالة بالكامل، يُشار إلى وظيفة التقلب بصندوق التقلب P-box، من حيث المبدأ؛ لا يُوجد ما يمنع أن يكون تحويل النشر لاختيائيةً (Avanzi, 2016, 26).

يسمح الفصل بين وظيفتي الخلط والنشر ببناء جولاتٍ مُكوّنةٍ من عملياتٍ أبسط يُمكن تحليلها رياضياً بشكلٍ مُستقلٍّ، كما أنه يُؤدّي إلى بساطةٍ في نهج التصميم وتحليله ممّا يُفيد الأمان بشكلٍ مُؤكّد، حيث أنّ معظم التصميمات التي صمدت بشكلٍ أفضل أمام تحليل الشيفرة هي تصميماتٌ منتظمةٌ جداً ومبنيةٌ باستخدام كتلٍ بسيطة، في حين أنّ عديداً من التصميمات التي كانت تبدو ذكيّةً والتي مزجت أنواعاً مختلفةً من العمليات المُعقّدة والغامضة

استبدال جزءٍ فقط من نصف الحالة في تعديل نصف الحالة الآخر.

تسمح تصميمات شبكة فيستيل غير المتوازنة ببناء مُعمّياتٍ كتليّةٍ ذات ميزاتٍ جيّدة، إذ تتمتع تصميمات UFN بمقاومتها الموروثة لتحليل الشيفرة الفرقيّ، وإنّ تزويدها بتابع جولةٍ يتمتع بمقاومة تحليل الشيفرة الخطّيّ يُنتج مُعمّياً مُقاوماً لكلّ من تحليل الشيفرة الخطّيّ والفرقيّ<sup>2</sup> (Schneier et al., 1996, 17).

تتمتع شبكة UFN ثقيلة الهدف بمقاومة تحليل الشيفرة الخطّيّ، كذلك تتمتع شبكة UFN ثقيلة المصدر بمقاومة تحليل الشيفرة الفرقيّ. وبالتالي فإنّ بناء مُعمٍّ كتليّ يُجري عدّة جولات UFN ثقيلة الهدف متبوعةً بعدّة جولات UFN ثقيلة المصدر يُوفّر ميزاتٍ مُقاومةً لتحليل الشيفرة الخطّيّ والفرقيّ على حدّ سواء (Schneier et al., 1996, 17).

#### 4- عائلة شبكة الاستبدال والتقلب

يُجري تحويل الجولة في مُعمّيات عائلة شبكة الاستبدال والتقلب (SPN) ثلاثة تحويلاتٍ مختلفةٍ قابلةٍ للعكس على كامل الحالة يُشار لها بالطبقات (layers). وهي طبقة الاستبدال وطبقة التقلب وطبقة إضافة مفتاح الجولة التي عادةً ما تستخدم عملية XOR بسيطة؛ كما هو مُوضّح في الشكل 4.

<sup>2</sup> يُعدّ كلٌّ من تحليل الشيفرة الفرقيّ (differential cryptanalysis) وتحليل الشيفرة الخطّيّ (linear cryptanalysis) هجوم نصّ صريحٍ مُختار (chosen-plaintext attack)؛ يستخدم عدداً كبيراً من أزواج النصّ الصريح والنصّ المُشفر لتحديد بتّات المفتاح (Daemen et al., 2002, 83). يسعى تحليل الشيفرة الفرقيّ لإيجاد احتمال انتشار فرق في بتّات الدخل يُحدّده نمط فرق (difference pattern) الدخل إلى فرق في بتّات الخرج يُحدّده نمط فرق الخرج. يهتمّ تحليل الشيفرة الخطّيّ بالعلاقة الخطّيّة (علاقة التكافؤ parity) التي تربط مجموعةً من البتّات يتم اختيارها باستخدام نمط اختيار (selection pattern)، ويسعى لإيجاد سعة الارتباط الخطّيّ (linear correlation amplitude) بين تكافؤ الدخل وتكافؤ الخرج.

LED، والمُعّمي KLEIN، والمُعّمي PRINCE، والمُعّمي Midori.

### 5- عائلة مُخطّط Lai-Massey

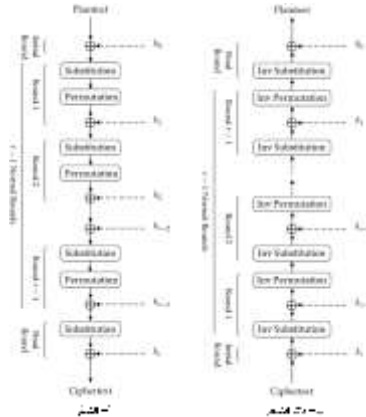
سُمّيت عائلة مُخطّط Lai-Massey تيمناً بالباحثين Xuejia Lai و James L. Massey اللّذين قاما بتقديمها، تجمع هيكلية LM بين مزايا كلّ من هيكلية شبكة فيستيل وشبكة الاستبدال والتقليب، حيث يتم تقسيم الحالة إلى جزئين لهما نفس الطول ويجري خلط الجزء الأيسر والأيمن من الحالة في نفس الوقت مما يُسرّع وظائف الخلط والنشر (Avanzi, 2016, 37).

بشكل مُبسّط؛ يأخذ مُشفر LM كتلة نصّ صريح بطول  $4X$  بت والمفتاح  $k$  كمدخلات، يتم تقسيم كتلة النصّ الصريح إلى نصفين كلّ منهما بطول  $2X$  بت: يُشار إلى النصف الأيسر بالرمز  $(X_1, X_2) = L_0$ ، ويُشار إلى النصف الأيمن بالرمز  $(X_3, X_4) = R_0$ ، ثم تتمّ مُعالجتهما عبر  $n$  جولة بنفس الطريقة باستخدام المفاتيح الفرعية  $(K_1, K_2, \dots, K_n)$ ، ثم يتّحدان لإنتاج كتلة النصّ المُشفر.

في كلّ جولة؛ يُمرّر نصف الكتلة إلى تابع نصف الجولة  $H$  مع جزء من المفتاح الفرعي  $K_i$  ويتمّ الحصول على  $(L_i', R_i') = H(L_i, R_i)$ ، ثم يتمّ تمرير الفرق بين  $L_i', R_i'$  إلى تابع الجولة  $F$  جنباً إلى جنب مع باقي أجزاء المفتاح الفرعي  $K_i$ ، ثم تجري إضافة نتيجة تطبيق تابع الجولة إلى كلّ من  $L_i', R_i'$  باستخدام عملية XOR وتنتهي الجولة بإجراء عملية مُبادلة بين نصفي الكتلة والحصول في الخرج على نصفي الكتلة  $L_{i+1}, R_{i+1}$ .

تمّ كسرهما بشكلٍ مفاجئٍ خلال وقتٍ قصير (Avanzi, 2016, 25).

لجعل المُشفر وفاقّ التشفير أكثر تشابهاً من حيث الهيكلية؛ لا تحتوي الجولة الأخيرة على طبقة التقليب كما في سائر الجولات الأخرى؛ كما هو موضّح في الشكل 5، لا يحسّن ذلك أو يقلل من أمان التشفير بأيّ شكلٍ من الأشكال (Daemen et al., 1999, 8).



الشكل (5) هيكلية المُشفر وفاقّ التشفير في عائلة SPN

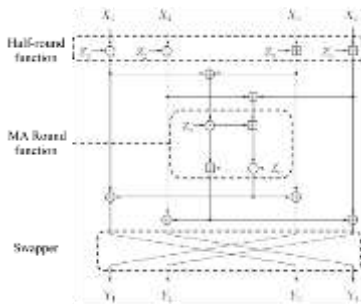
يتمّ فكّ التشفير ببساطةٍ عن طريق عكس العمليات (باستخدام تحويلات الاستبدال والتقليب العكسية) وتطبيق مفاتيح الجولات بترتيبٍ عكسي؛ كما هو موضّح في الشكل 5 (ب).

تجدر الإشارة إلى أنه يُمكن أن تكون لجولات فاقّ التشفير نفس بنية جولات المُشفر بحال كانت وظيفة النشر في طبقة التقليب خطية؛ حيث يُمكن المُبادلة ما بين طبقة التقليب العكسية وطبقة إضافة المفتاح كونهما خطيتين مع تطبيق تحويل النشر على المفاتيح المُقابلة في جدول المفاتيح (Stallings, 2017, 198).

من أمثلة المُعمّيات التي لها هيكلية SPN: المُعمّمي K-64 SAFER، والمُعّمي 3-Way، والمُعّمي SQUARE، والمُعّمي Serpent، والمُعّمي CRYPTON، والمُعّمي AES، والمُعّمي KHAZAD، والمُعّمي ARIA، والمُعّمي PRESENT، والمُعّمي PRINT، والمُعّمي

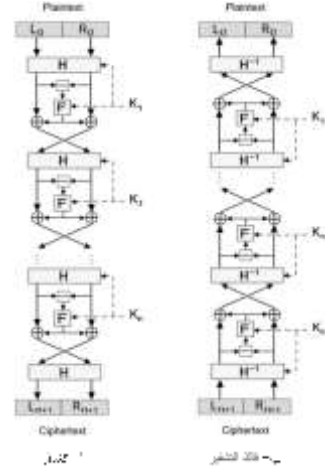
الضرب والجمع (Multiplication-Addition) التي يستخدمها.

يتكوّن مفتاح الجولة من ستّ كلماتٍ ( $Z_1 \dots Z_6$ ) تُستخدَم الكلمات  $Z_1, Z_2, Z_3, Z_4$  في تابع نصف الجولة والكلمتان  $Z_5, Z_6$  في تابع الجولة؛ كما هو موضح في الشكل 7 (Lai, 1992, 22).



الشكل (7) هيكلية الجولة في المُعمّي IDEA من العائلة LM في عملية فكّ التشفير تُستخدَم نفس المفاتيح ولكن بترتيبٍ عكسيٍّ بحيث يتكوّن المفتاح من الكلمات نفسها مع تعديلٍ بسيطٍ يشمل استخدام المعكوس الضريّ للكلمتين  $Z_1, Z_2$  والمعكوس الجمعيّ للكلمتين  $Z_3, Z_4$  (Lai, 1992, 23). يُعني استخدام معكوس كلمات مفتاح الجولة  $Z_1, Z_2, Z_3, Z_4$  عن الحاجة لعكس تابع نصف الجولة وبالتالي يُمكن استخدام نفس الخوارزمية في كلّ من المُشفّر وفكّ التشفير.

تُحقّق هيكلية المُعمّي IDEA النشر الكامل اعتباراً من الجولة الأولى، حيث يعتمد كلّ بتّ في الخرج على جميع بتّات الدخّل وباستخدام جميع بتّات المفتاح (Lai, 1992, 32). تُوجد أمثلةٌ أخرى على مُعمّيات لها هيكلية LM. على سبيل المثال؛ المُعمّي MESH الذي يستخدم تابع الجولة ذا هيكلية MA المُستخدَم في المُعمّي IDEA، والمُعمّي Akelarre الذي يستخدم تابع جولة مُركّباً من عمليّات الجمع موديولو  $2^{32}$  وعمليّات التدوير المُعتمِدة على البيانات (data dependent rotation)، ويُشار له بالاسم



الشكل (6) هيكلية المُشفّر وفكّ التشفير في عائلة LM

كما هو موضح في الشكل 6 (أ)؛ يُمكن التعبير عن

نتاج الجولة  $1 \leq i \leq n$  في المُشفّر كما يلي:

$$(L'_i, R'_i) = H(L_i, R_i, \text{some of } K_i)$$

$$T_i = F(L'_i - R'_i, \text{rest of } K_i)$$

$$(L_{i+1}, R_{i+1}) = (R'_i \oplus T_i, L'_i \oplus T_i)$$

تكون لفكّ التشفير نفس هيكلية المُشفّر؛ وتجري معالجة النصّ المُشفّر بنفس الطريقة المُتبعة في المُشفّر لكن مع استخدام المفاتيح الفرعية بترتيبٍ عكسيٍّ، وهناك ضرورةٌ لعكس تابع نصف الجولة  $H^{-1}$  دون الحاجة إلى عكس تابع الجولة؛ ممّا يتيح بناء فاكّ التشفير بسهولة أكبر؛ مع إمكانية تصميم تابع الجولة بشكلٍ مُستقلٍّ ليكون مُعقّداً بأيّ شكلٍ كان.

كما هو موضح في الشكل 6 (ب)؛ يُمكن التعبير عن

نتاج الجولة  $1 \leq i \leq n$  في فاكّ التشفير كما يلي:

$$(L'_i, R'_i) = H^{-1}(L_i, R_i, \text{some of } K_i)$$

$$T_i = F(L'_i - R'_i, \text{rest of } K_i)$$

$$(L_{i+1}, R_{i+1}) = (R'_i \oplus T_i, L'_i \oplus T_i)$$

قدّم Xuejia Lai (1992) المُعمّي IDEA واقترح

استخدام تابع جولة مُركّبٍ من عمليّات الضرب موديولو  $(2^{16} + 1)$  يُرمز لها بالرمز  $\odot$  وعمليّات الجمع موديولو  $2^{16}$  يُرمز لها بالرمز  $\boxplus$ ، ويُشار لتابع الجولة بالاسم MA للدلالة على هيكلية

3- الكود البرمجيّ المطلوب لتنفيذ المُعمّي يكون صغيراً جداً.

يُعدّ تصميم عائلة ARX الأنسب للاستخدام في الأنظمة مُقيّدة الموارد لما يُوفّره من ميزاتٍ تجعله مناسباً للاستخدام في المُعمّيات الكتليّة خفيفة الوزن (light-weight) خاصّةً تلك التي تكون فيها مُتطلّبات الذاكرة هي الأكثر صرامة.

تبقى المشكلة الأساسيّة المفتوحة للبحث في عائلة ARX هي التوصل إلى تصميم يجعل المُعمّي آمناً بشكلٍ مُؤكّدٍ ضدّ تحليل الشيفرة الفرقّي والخطّي (Dinu et al., 2016, 2).

### 7- المُعمّيات الهجينة

بناءً على دراسة عائلات المُعمّيات الكتليّة التي تمّ استعراضها في الأقسام السابقة؛ اخترنا تسمية المُعمّيات الهجينة (hybrid ciphers) للدلالة على المُعمّيات ذات الهيكليّات المُختلطة بين تلك العائلات. تسعى المُعمّيات الهجينة للاستفادة من مزايا الهيكليّات للحصول على أداءٍ مناسبٍ لتطبيقاتٍ خاصّة.

تُوجد عدّة أمثلةٍ على المُعمّيات الهجينة مثالها: المُعمّي LEA ذو الهيكليّة العامّة type-3 GUFN ويستخدم عمليّات ARX، والمُعمّي TEA والمُعمّي XTEA اللذان لهما الهيكليّة العامّة BFN ويستخدمان عمليّات ARX، والمُعمّي FOX ذو الهيكليّة العامّة LM ويستخدم تابع جولةٍ ذو هيكليّة SPN، والمُعمّي SIT ذو هيكليّة GUFN type-2 مُعدّلةٍ ويستخدم تابع جولةٍ ذو هيكليّة SPN.

### 8- مقارنة عائلات المُعمّيات الكتليّة

#### والاستنتاجات

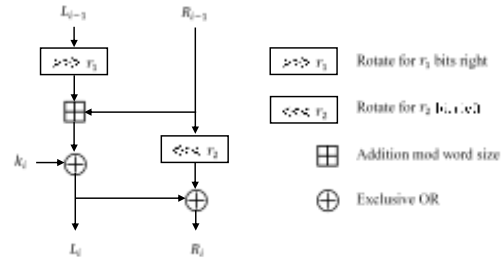
على الرغم من أنّ جميع عائلات المُعمّيات الكتليّة تُحقّق وظائف الخلط والنشر التي اقترحها كلود شانون لبناء مُعمٍّ كتليّ آمنٍ؛ إلّا أنّه تُوجد اختلافاتٌ جوهريّةٌ فيما بينها

AR للدلالة على هيكليّة الجمع والتدوير (Addition-Rotation) المُستخدمة.

### 6- عائلة عمليّات الجمع/ التدوير/ XOR

يستخدم مُعمّي عائلة ARX العمليّات البسيطة التالية فقط: الجمع المعياريّ (modular addition)، والتدوير على مستوى البتّ (bitwise rotation)، وعمليّة XOR المنطقية. يعتمد تصميم مُعمّيات عائلة ARX على الجمع المعياريّ مصدراً وحيداً يُوفّر الأخطيّة (Dinu et al., 2016, 2).

يُعدّ المُعمّي SPECK مثلاً على مُعمّيات ARX يُوفّر أداءً أمثلياً في التنجيزات البرمجية مع الحفاظ على مستوى أمانٍ مقبول، يُوضّح الشكل 8 بنية الجولة في المُعمّي SPECK (Beaulieu et al., 2015, 16).



الشكل (8) بنية الجولة في المُعمّي SPECK من العائلة ARX

يُوفّر تصميم عائلة ARX ثلاث إيجابيّاتٍ رئيسيّة (Dinu et al., 2016, 2):

1- يُؤدّي التخلّص من عمليّات البحث في الجدول المُرتبطة بالتصميمات القائمة على صناديق الاستبدال إلى زيادة المرونة ضدّ هجمات القناة الجانبيّة (side-channel attacks)، إضافةً إلى اختصار متطلّبات الذاكرة عند التنجيز.

2- يُؤدّي استخدام العمليّات البسيطة فقط إلى تقليل عدد العمليّات الإجماليّة التي يُجريها المُعمّي ممّا يسمح بتنجيزاتٍ برمجيّةٍ وعتاديّةٍ سريعة.

تتعلّق الموارد المُستهلكة في عائلة FN بتعقيد العمليّات المُنفّذة في تابع الجولة F، أما في عائلة LM عادةً ما تكون العمليّات المُنفّذة في تابع نصف الجولة H وتابع الجولة F مُعقّدة نسبياً وتستهلك موارد مُعالِجة كبيرةً قياساً بباقي العائلات؛ كما هو الحال في المُعمّي IDEA والمُعمّي MESH والمُعمّي Akelarre.

بناءً على موارد المُعالِجة والذاكرة المطلوبة؛ تُعدّ مُعمّيات ARX الأنسب للاستخدام في الأنظمة مُقيّدة الموارد من حيث قدرة المُعالِجة والتي تكون فيها مُتطلّبات الذاكرة هي الأكثر صرامة، لذلك فهي مناسبةً لبناء المُعمّيات الكتليّة خفيفة الوزن (light-weight).

تتمتّع مُعمّيات FN بميزةٍ تلقائيّةٍ هي عدم الحاجة إلى خوارزميّتين مُختلفتين للتشفير وفكّ التشفير، حيث تسمح مُعمّيات FN ببناء تابع الجولة F بصورةٍ مُستقلّةٍ كوظيفةٍ أحاديّة الاتجاه مُعقّدة بأيّ شكلٍ كان؛ مع التركيز على خصائص الخلط المرغوبة دون أيّة قيودٍ تفرضها قابليّة الانعكاس.

في مُعمّيات LM هناك ضرورةٌ لعكس تابع نصف الجولة H فقط دون الحاجة إلى عكس تابع الجولة F في المُشفر؛ ممّا يُتيح إمكانيّة تصميم تابع الجولة بشكلٍ مُستقلٍّ ليكون مُعقّداً بأيّ شكلٍ كان.

وبالتالي فإنّه تُوجد حاجةٌ إلى خوارزميّتين مُختلفتين للتشفير وفكّ التشفير في مُعمّيات LM، يُمكن الاكتفاء بخوارزميةٍ واحدةٍ للتشفير وفكّ التشفير عند استخدام نفس تابع نصف الجولة في فكّ التشفير، يقتضي ذلك استخدام معكوس كلمات مفتاح الجولة المُستخدمة في تابع نصف الجولة في عمليّة فكّ التشفير؛ كما هو الحال في المُعمّي IDEA.

تتطلّب مُعمّيات SPN و ARX أن تكون وظائف الخلط والنشر في المُشفر قابلةً للعكس (من أجل فكّ التشفير)،

تجعل استخدام هيكلية مُعيّنة منها أكثر ملاءمةً وقابليّةً للتطبيق في تجزّيات مُعيّنة.

بناءً على ما تمّ شرحه في الفقرات السابقة سنقوم بالمقارنة بين عائلات المُعمّيات الكتليّة من حيث قابليّة التنفيذ المُتوازي واستهلاك موارد المُعالِجة والذاكرة وإمكانيّة الاكتفاء بخوارزميةٍ واحدةٍ في المُعمّي وسرعة الخلط والنشر في تحويل الجولة.

تمتلك هيكلية الجولة في مُعمّيات SPN بنيةً تكوينيّةً تدعم قابليّة التنفيذ المُتوازي على مستوى حزم الحالة التي يُطبّق عليها صندوق الاستبدال S-box، وبالتالي يُمكن مُعالِجة جميع حزم الحالة على التوازي وبشكلٍ مُستقلٍّ تماماً؛ كما هو الحال في المُعمّي AES.

تكون مُعمّيات FN أكثر قابليّةً للتنفيذ المُتوازي قياساً بمُعمّيات LM و ARX، حيث أنّ هيكلية الجولة في مُعمّيات LM و ARX تتطلّب تنفيذ العمليّات بالتناوب على نصفيّ الحالة وفق مسارات مُعالِجة تحدّ بشكلٍ كبيرٍ من قابليّة التنفيذ المُتوازي كما هو مُبيّن في الشكل 7 والشكل 8.

بناءً على قابليّة التنفيذ المُتوازي؛ فإنّ توفّر وحدات المُعالِجة المركزيّة CPUs (Central Processing Units) التي تحتوي على وحدات تنفيذٍ عديدةٍ يجعل العائلة SPN مُفضّلةً للاستخدام مُقارنةً بباقي العائلات.

تستهلك مُعمّيات ARX موارد مُعالِجة وذاكرةً قليلةً جداً لاعتمادها على العمليّات البسيطة واستغنائها عن عمليّات البحث في الجداول وكون الكود البرمجيّ المطلوب لتجيز المُعمّي صغيراً جداً.

ترتبط الموارد المُستهلكة في باقي العائلات بنوع العمليّات المُنفّذة، ففي عائلة SPN تتعلّق الموارد المُستهلكة بطريقة تجيز وظيفة الخلط في طبقة الاستبدال وتعقيد وظيفة النشر في طبقة التقلاب.

يُعالج تحويل الجولة في مُعمّيات FN نصف الحالة (في شبكات BFN) أو عدداً من الفروع الهدف من الحالة (في شبكات GUFN)، وبالتالي تبقى وظائف الخلط والنشر مَحْصُورَةً في جزءٍ من الحالة خلال الجولة الواحدة؛ الأمر الذي يُبْطِئُ خصائص النشر.

تنعكس زيادة سرعة الخلط والنشر في تحويل الجولة إيجاباً على تصميم المُعمّيات، بحيث تزداد مُقاومة المُعمّي لتحليل الشيفرة الفرقيّ والخطّيّ عند إجراء نفس العدد من الجولات، وبالتالي ينخفض عدد الجولات المطلوب تنفيذها في المُعمّي.

يُلخّص الجدول 1 نتائج المُقارَنة بين ميزات عائلات المُعمّيات الكتليّة من حيث قابليّة التنفيذ المُتوازٍ واستهلاك موارد المُعالِجة والذاكرة وإمكانيّة الاكتفاء بخوارزمية واحدة في المُعمّي وسرعة الخلط والنشر في تحويل الجولة.

الجدول (1) مُقارَنة بين ميزات عائلات المُعمّيات الكتليّة /1/

| الميزات<br>عائلة<br>المُعمّي | قابليّة التنفيذ المُتوازٍ | المُعالِجة والذاكرة<br>استهلاك<br>مُتوسّط | إمكانيّة في المُعمّي<br>الاكتفاء بخوارزمية واحدة | سرعة الخلط والنشر<br>تحويل الجولة |
|------------------------------|---------------------------|---|--|-----------------------------------|
| FN                           | مُتوسّطة                  | مُتوسّط                                   | تلقائيّة   | مُنخفضة                           |
| SPN                          | تلقائيّة                  | مُتوسّط                                   | مُمكنة   | مُتوسّطة                          |
| LM                           | ضعيفة                     | كبير                                      | مُمكنة   | عالية                             |
| ARX                          | ضعيفة                     | مُنخفض                                    | صعبة   | مُتوسّطة                          |

بناءً على المُناقشة السابقة؛ يُمكن التعبير عن ميزات عائلات المُعمّيات الكتليّة المُبيّنة في الجدول 1 بالتأثير المُقابل لكلّ منها، كما هو مُبيّن في الجدول 2.

وبالتالي فإنّه بشكلٍ عامّ تُوجَد حاجةٌ إلى خوارزميّتين مُختلفتين للتشفير وفكّ التشفير.

بما أنّ طبقة الاستبدال مُستقلّةً وظيفياً عن طبقة التبدّل في مُعمّيات SPN؛ يُمكن الاكتفاء بخوارزمية واحدةٍ للتشفير وفكّ التشفير بحال كانت تحويلات الخلط والنشر معكوسةً ذاتياً (involution) كما هو الحال في المُعمّي KHAZAD.

إنّ عدم الحاجة إلى خوارزميّتين مُختلفتين للتشفير وفكّ التشفير يُؤدّي إلى اختصار منطقة الرقاقة المطلوبة لتتجزئ المُعمّي ككلّ، وبالتالي تتفرد مُعمّيات FN بكون منطقة الرقاقة المطلوبة لتتجزئ المُعمّي ككلّ ما أمكن.

تُجري مُعمّيات LM عمليّات خلط النصف الأيسر والأيمن من الحالة بنفس الوقت ممّا يُسرّع وظائف الخلط والنشر، وإمكانها أن تُحقّق النشر الكامل اعتباراً من الجولة الأولى؛ كما هو الحال في المُعمّي IDEA.

تستخدم مُعمّيات ARX الجمع المعياريّ مصدراً وحيداً يُوفّر اللأخطيّة ويُمكنها أن تُجري عمليّات الخلط والنشر على نصفَي الحالة بنفس الوقت؛ كما هو الحال في المُعمّي SPECK. لكنّ زيادة طول الحالة تعني زيادة طول المُعامِلات؛ وبالتالي تُصبح موارد المُعالِجة المطلوبة لتتجزئ عمليّات الجمع المعياريّ أكبر. لذلك تُستخدم عمليّات ARX بشكلٍ هجينٍ مع هيكليّاتٍ أخرى كما هو الحال في المُعمّي LEA والمُعمّي TEA والمُعمّي XTEA بما يُحقّق التوازن بين سرعة النشر من جهةٍ وكلفة العمليّات المُنفّذة من جهةٍ أخرى.

يُطبّق تحويل الجولة في مُعمّيات SPN طبقات الاستبدال والتقليب التي تُوفّر وظائف الخلط والنشر على الحالة بالكامل، وترتبط خصائص النشر بتعقيد وظيفة النشر المُستخدمة في طبقة التقليب.

وتابع الجولة لتوفير مستوى أمانٍ عالٍ جداً ولكن على حساب سرعة التنفيذ وبساطة التصميم؛ كما هو الحال في المُعمّي MARS.

تتميّز مُعمّيات SPN بتصميمها البسيط، فهي من ناحيةٍ أولى تُتيح وصفاً بسيطاً للمُعّمّي وبالتالي تقيماً أمنياً أكثر دقّةً، كما أنّها من ناحيةٍ أخرى تمنح المُصمّمين مزيداً من الحرّيّة في تصميم طبقات الخلط والنشر في المُعمّي.

يُمكن استنتاج أنّ هيكليّة SPN هي الأنسب لبناء مُعمّ كتليّ مُعدّ للاستخدامات العامّة يُوفّر مستوى أمانٍ عالياً وسرعةً في الأداء وبساطةً في التصميم وسهولةً في التحليل تُساهم في تطوير مستوى أعلى من التيقن فيما يتعلّق بقوة الخوارزمية.

أخيراً؛ يُمكن تصميم مُعمّيات هجينة تستفيد من الهيكليّات المُقترحة في العائلات الأساسيّة لثوْفَر مزاي الأمان والأداء المناسبة، وتُعدّ المُعمّيات الهجينة التي تدمج بين هيكليّة ARX وهيكلّيّات FN الأكثر استخداماً بين المُعمّيات الهجينة المعروفة.

التمويل: هذا البحث ممول من جامعة دمشق وفق رقم التمويل (501100020595).

الجدول (2) مقارنة بين ميزات عائلات المُعمّيات الكتليّة /2/

| عدد الجولات التي تُحقّق مستوى الأمان المطلوب | تقليل منطقة الرقاقة عند تنجيز المُعمّي كلّ | ملاءمة بناء المُعمّيات خفيفة الوزن | الإستفادة من وحدات CPU مُعدّدة وحدات التنفيذ | الميزات |
|--|--|------------------------------------|--|---------|
| كبير   | عالية                                      | مُتوسّطة                           | مُتوسّطة                                     | FN      |
| مُتوسّط                                      | مُمكنة                                     | مُتوسّطة                           | عالية  | SPN     |
| قليل   | مُمكنة                                     | ضعيفة                              | ضعيفة  | LM      |
| مُتوسّط                                      | ضعيفة                                      | عالية                              | ضعيفة  | ARX     |

يُفضّل استخدام هيكليّة ARX في بناء المُعمّيات الكتليّة خفيفة الوزن التي تُناسب الأنظمة مُقيّدة الموارد، فهي تُوفّر أداءً أمثلّياً في التنجيزات البرمجية والعنصرية مع الحفاظ على مستوى أمانٍ مقبول. ولكنها لا تصلح للتطبيقات التي تتطلّب مستويات أمانٍ عاليةً مضمونةً كونه يصعب التوصل إلى تصميم يجعل مُعمّي ARX آمناً بشكلٍ مُؤكّد ضدّ تحليل الشيفرة الفرقيّ والخطّيّ.

تسمح تصميمات شبكة فيستيل غير المُتوازنة المُعمّمة GUFN ببناء مُعمّيات كتليّة ذات ميزاتٍ جيّدة من حيث مُقاومة تحليل الشيفرة الخطّيّ والفرقيّ، حيث يُمكن استخدام هيكليّة GUFN المُكوّنة من عدّة مراحل مختلفة في الشبكة

## References

- [1] Acosta, A. J., Sánchez, E. T., Jiménez, C. J., & Mora, J. M. (2017). **Power and Energy issues on lightweight cryptography**. Journal of Low Power Electronics, Vol. 13, No. 3, pp. 326-337.
- [2] Albermany, S. A. K. & RadiHamade, F. (2016). **Survey: Block cipher Methods**. International Journal of Advancements in Research & Technology (IJOART), Volume 5, Issue 11, pp. 11-22.
- [3] Appel, M., Bossert, A., Cooper, S., Kußmaul, T., Löffler, J., Pauer, C., et al. (2016). **Block ciphers for the IoT – SIMON, SPECK, KATAN, LED, TEA, PRESENT, and SEA compared**. Report, ATHENE, National Research Center for Applied Cybersecurity.
- [4] Avanzi, Roberto. (2016). **A Salad of Block Ciphers**. IACR ePrint Archive: Report 2016/1171, pp. 25.



- [5] Batina, L., Das, A., Ege, B., Kavun, E. B., Mentens, N., Paar, C., *et al.* (2013). **Dietary Recommendations for Lightweight Block Ciphers: Power, Energy and Area Analysis of Recently Developed Architectures.** International Workshop on Radio Frequency Identification: Security and Privacy Issues (RFIDSec), Springer, Berlin, Heidelberg, LNCS (8262) pp. 103-112.
- [6] Beaulieu, R., Shors, D., Smith, J., Treatman-Clark, S., Weeks, B., & Wingers, L. (2015). **The SIMON and SPECK Lightweight Families of Block Ciphers.** Proceedings of the 52<sup>nd</sup> ACM/EDAC/IEEE Design Automation Conference (DAC), Article No. 175.
- [7] Cazorla, M., Marquet, k., & Minier, M. (2013). **Survey and Benchmark of Lightweight Block Ciphers for Wireless Sensor Networks.** International Conference on Security and Cryptography (SECRYPT), published by IEEE, August 2015, Electronic ISBN: 978-9-8975-8131-1
- [8] Daemen, J. & Rijmen, V. (1999). **AES Proposal: Rijndael.** Submission to NIST, Version2.
- [9] Daemen, J. & Rijmen, V. (2002). **The Design of Rijndael: AES- The Advanced Encryption Algorithm.** Springer, Berlin, Heidelberg.
- [10] Dinu, D., Perrin, L., Udovenko, A., Velichkov, V., Großschädl, J., & Biryukov, A. (2016). **Design Strategies for ARX with Provable Bounds: SPARX and LAX.** International Conference on the Theory and Application of Cryptology and Information Security (ASIACRYPT), Springer, Berlin, Heidelberg, LNCS (10031) pp. 484-513.
- [11] Eisenbarth, T., Gong, Z., Güneysu, T., Heyse, S., Indesteege, S., Kerckhof, S., *et al.* (2012). **Compact Implementation and Performance Evaluation of Block Ciphers in ATtiny Devices.** International Conference on Cryptology in Africa (AFRICACRYPT), Springer, Berlin, Heidelberg, LNCS (7374) pp. 172-187.
- [12] Hosseinzadeh, J. & Bafghi, A. G. (2017). **Software Implementation And Evaluation Of Lightweight Symmetric Block Ciphers Of The Energy Perspectives And Memory.** International Journal of Engineering Education (IJEE), Vol. 9, No. 2.
- [13] Kushwaha, P. K., Singh, M. P., & Kumar, P. (2014). **A Survey on Lightweight Block Ciphers.** International Journal of Computer Applications, Vol. 76, No. 17, pp. 1-7.
- [14] Lai, Xuejia. (1992). **On the Design and Security of Block Ciphers.** Doctoral Thesis, ETH Zürich
- [15] Rana, S., Wadud, M. A. H., Azgar, A., & Kashem, M. A. (2019). **A Survey Paper of Lightweight Block Ciphers Based on Their Different Design Architectures and Performance Metrics.** International Journal of Computer Engineering and Information Technology, Vol. 11, No. 6, pp. 119-129.
- [16] Schneier, B. & Kelsey, J. (1996). **Unbalanced Feistel Networks and Block Cipher Design.** International Workshop on Fast Software Encryption (FSE), Springer, Berlin, Heidelberg, LNCS (1039) pp. 121-144.
- [17] Schneier, Bruce. (1996). **Applied Cryptography: Protocols, Algorithms, and Source Code in C.** John Wiley & Sons, Inc. ISBN: 0471128457.
- [18] Shirey, Robert W. (2007). **Internet Security Glossary, Version 2.** Internet Engineering Task Force (IETF), Network Working Group, RFC 4949 (Informational).
- [19] Stallings, William. (2017). **Cryptography and Network Security Principles and Practice.** Seventh edition global edition, Pearson Education.